

MODELOWANIE DYNAMIKI ORAZ SYNTEZA UKŁADU STEROWANIA CZTEROWIRNIKOWCEM

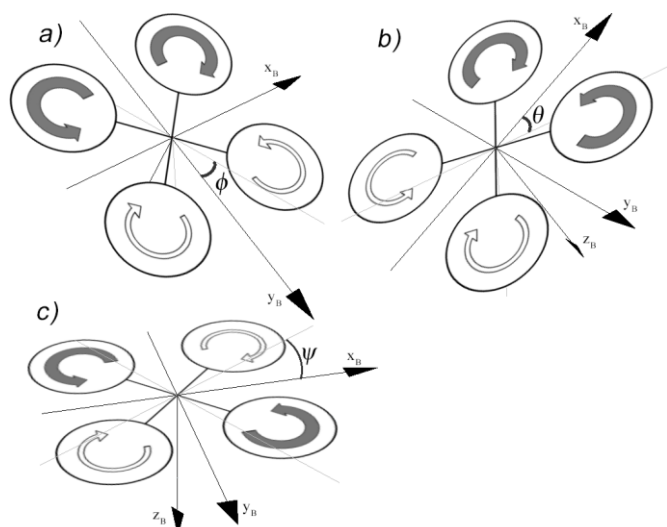
W pierwszej części pracy omówiono model matematyczny czterowirnikowca, zlinearyzowany w punkcie pracy jakim jest stan ustalony zawisu, oraz metoda identyfikacji współczynników tego modelu. W drugiej części opisano syntezę podstawowego układu sterowania orientacją przestrzenną czterowirnikowca, którą przeprowadzono, wykorzystując teorię układów liniowych i regulatory PI. Zaprojektowany układ sterowania poddano testom symulacyjnym, weryfikującym jego działanie.

WSTĘP

Wielowirnikowce są statkami latającymi, utrzymywanymi w powietrzu siłami ciągu, wytwarzanymi przez śmigła rozmieszczone symetrycznie w płaszczyźnie wokół środka ciężkości. Przewagą konstrukcji wielowirnikowych w stosunku do płatowcowych jest możliwość utrzymania stałej pozycji w przestrzeni w stanie ustalonego zawisu oraz pionowy start i lądowanie, co przekłada się na większą mobilność, podobnie jak w przypadku śmigłowców konwencjonalnych. W porównaniu do tych ostatnich, wielowirnikowce charakteryzują się prostszą konstrukcją (stały kąt nastawienia łopat śmigła) i łatwiejszym sterowaniem ciągiem, co stanowi o ich większej atrakcyjności.

W artykule opisano model matematyczny obiektu oraz syntezę układu sterowania, przy czym ograniczono się do konstrukcji z czterema śmigłami, zwanych dalej czterowirnikowcami. Otrzyma-
ne wyniki, po odpowiednich modyfikacjach, można jednak odnieść również do pozostałych konstrukcji wielowirnikowych.

Sterowanie czterowirnikowcem polega na zmianie orientacji przestrzennej, która odbywa się wskutek różnicy prędkości obrotowych poszczególnych śmigieł (rys. 1).



Rys. 1. Przechylenie (a), pochylenie (b) i odchylenie (c) czterowirnikowca z zaznaczonymi dodatnimi kątami Euler i odpowiadającymi różnicami prędkości obrotowych śmigieł. Pogrubione strzałki oznaczają większą prędkość obrotową.

Z uwagi na konstrukcję obiektu, lot przy bezpośrednim sterowaniu prędkościami obrotowymi śmigieł przez operatora jest praktycznie niewykonalny. Z tego względu konieczne jest zastosowanie układu sterowania, współpracującego z czujnikami orientacji przestrzennej.

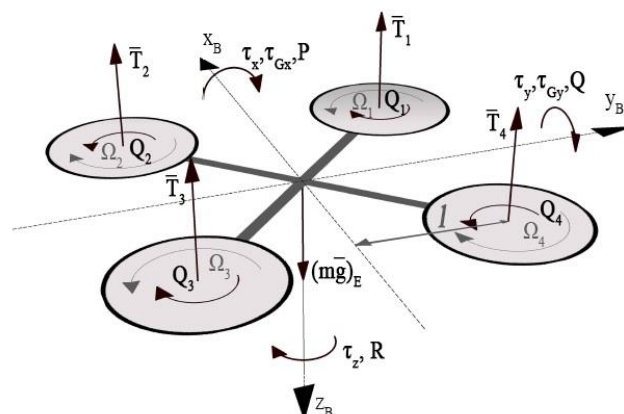
1. MODEL MATEMATYCZNY CZTEROWIRNIKOWCA

1.1. Wprowadzenie, uwzględniane wielkości

Model matematyczny czterowirnikowca wyprowadzono z wykorzystaniem równań dynamiki Newtona i Eulera dla bryły sztywnej. Przy modelowaniu przyjęto pewne uproszczenia, m. in. pominięto aerodynamiczne siły oporu. Uproszczenie to nie powinno jednak znacznie wpływać na jakość modelu, opracowanego z myślą o syntezie układu sterowania orientacją przestrzenną, gdyż siły te w pobliżu stanu ustalonego zawisu są względnie małe. Ponadto praktycznie wyznaczenie lub weryfikacja ich wartości jest trudne.

Przy modelowaniu przyjęto następujące układy współrzędnych [2]:

- układ ziemski F_E – układ pseudoinercjalny, którego początek znajduje się na ziemi, a osie x_E , y_E i z_E skierowane są odpowiednio na północ, wschód i do środka ziemi (jako dopełnienie układu prawoskrętnego),
- układ bazowy F_B – układ nieinercjalny, którego początek pokrywa się ze środkiem ciężkości wielowirnikowca (rys. 2). Jego położenie względem układu ziemskiego tożsame jest z orientacją czterowirnikowca w przestrzeni, opisaną kątami Euler: ϕ – przechylenie, θ – pochylenie, ψ – odchylenie (rys. 1).



Rys. 2. Uwzględniane siły i momenty działające na czterowirnikowca.

Tab. 1. Wielkości na rys.2

$(mg)_E$	Siła ciężkości w układzie ziemskim F_E (pozostałe wielkości zdefiniowane w układzie bazowym)
Ω_i	Prędkość obrotowa śmigła
$\bar{\omega}_{BE} = [P, Q, R]^T$	Prędkości kątowe na kierunku osi układu bazowego
l	Odległość osi obrotu śmigieł od osi x_B i y_B
T_i, Q_i	Ciąg i moment reakcyjny śmigła
τ_x, τ_y, τ_z	Momenty przechylający i pochyłający i odchylający
τ_{Gx}, τ_{Gy}	Momenty żyroskopowe śmigieł

Ciąg i moment reakcyjny śmigła

Zależności opisujące ciąg i moment reakcyjny śmigła w funkcji jego prędkości obrotowej zidentyfikowano eksperymentalnie na miniaturowej hamowni [1], umożliwiającą pomiar tych wielkości za pomocą wagi i obrotomierza. Zmierzone charakterystyki aproksymowano wielomianami drugiego rzędu:

$$T_i(\Omega_i) = c_T \Omega_i^2 + b_T \Omega_i + a_T \quad (1)$$

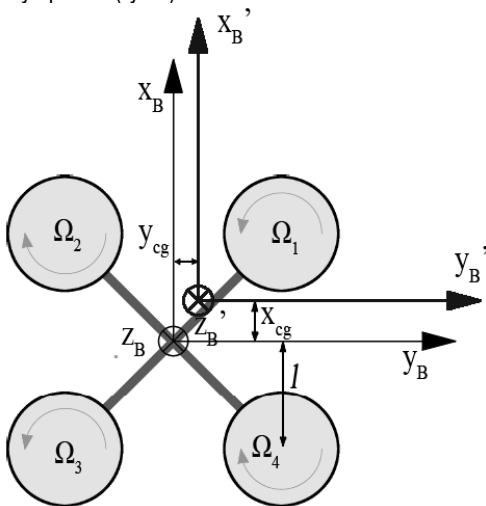
$$Q_i(\Omega_i) = c_Q \Omega_i^2 + b_Q \Omega_i + a_Q \quad (2)$$

Powyższe zależności są słuszne dla prędkości obrotowych większych niż minimalne osiągnięte podczas testów.

Dla $\Omega_i < \Omega_{min}$: $T_i = 0$, $Q_i = 0$

Przesunięcie środka ciężkości

Przesunięcie środka ciężkości względem środka geometrycznego konstrukcji wielowirnikowca często występuje w rzeczywistości, utrudniając sterowanie obiektem. Zamodelowano to zjawisko w uproszczony sposób (rys.3).



Rys. 3. Sposób modelowania przesunięcia środka ciężkości.

Przyjęto, że środek ciężkości obiektu przesuwa się w płaszczyźnie $x_B y_B$ o wartość (x_{cg}, y_{cg}) zaś osie układu bazowego przyjmują nowe położenie x_B', y_B', z_B' z początkiem w nowym środku ciężkości (rys. 3). Założono przy tym, że przesunięcie jest na tyle małe, że nie wpływa na zmianę wartości momentów bezwładności. Wówczas momenty przechylający i pochyłający przyjmują postać:

$$\tau_x = l(-T_1 + T_2 + T_3 - T_4) + y_{cg} \sum_{i=1}^4 T_i \quad (3)$$

$$\tau_y = l(T_1 + T_2 - T_3 - T_4) - x_{cg} \sum_{i=1}^4 T_i \quad (4)$$

Przesunięcie środka ciężkości nie wpływa na wartość momentu odchylającego, który wynosi:

$$\tau_z = Q_1 - Q_2 + Q_3 - Q_4 \quad (5)$$

Momenty żyroskopowe

Źródłem tych momentów są obracające się śmigła, o sumarycznym kręcie:

$$\bar{H} = [0, 0, I_s(\Omega_1 - \Omega_2 + \Omega_3 - \Omega_4)]^T \quad (6)$$

gdzie:

I_s – moment bezwładności śmigła z wirnikiem silnika.

Pod wpływem obrotu czterowirnikowca na kierunku osi prostopadłych do osi obrotu śmigieł powstaje moment żyroskopowy:

$$\bar{\tau}_G = \bar{\omega}_{BE} \times \bar{H} = \begin{bmatrix} QI_s(\Omega_1 - \Omega_2 + \Omega_3 - \Omega_4) \\ -PI_s(\Omega_1 - \Omega_2 + \Omega_3 - \Omega_4) \\ 0 \end{bmatrix} \quad (7)$$

Z równania (7) wynika:

$$\tau_{Gx} = QI_s(\Omega_1 - \Omega_2 + \Omega_3 - \Omega_4) \quad (8)$$

$$\tau_{Gy} = -PI_s(\Omega_1 - \Omega_2 + \Omega_3 - \Omega_4) \quad (9)$$

1.2. Równania ruchu

Ruch postępowy

Zgodnie z II zasadą dynamiki Newtona, równania ruchu postępowego środka masy w układzie inercjalnym (F_E) są postaci:

$$m(\ddot{\xi})_E = (m\bar{g})_E + (\bar{T})_E = (m\bar{g})_E + L_{EB}(\bar{T})_B \quad (10)$$

gdzie:

$(\ddot{\xi})_E = [\ddot{x}_E, \ddot{y}_E, \ddot{z}_E]^T$ - przyspieszenia liniowe na kierunkach osi układu ziemskiego,

L_{EB} - macierz transformacji układów współrzędnych.

Ruch obrotowy

Ruch obrotowy wokół środka masy w obracającym się układzie współrzędnych (F_B) opisuje równanie Eulera:

$$I\dot{\bar{\omega}}_{BE} + \bar{\omega}_{BE} \times I\bar{\omega}_{BE} = \bar{M} \quad (11)$$

gdzie:

$$I = \begin{bmatrix} I_{xx} & 0 & 0 \\ 0 & I_{yy} & 0 \\ 0 & 0 & I_{zz} \end{bmatrix} \text{ - tensor bezwładności konstrukcji,}$$

(ze względu na symetrię czterowirnikowca, pominięto momenty dewiacji)

$$\bar{M} = \begin{bmatrix} \tau_x + \tau_{Gx} \\ \tau_y + \tau_{Gy} \\ \tau_z \end{bmatrix} \text{ - momenty zewnętrzne w układzie } F_B.$$

Pełne równania dynamiki czterowirnikowca

Równanie (12) stanowi rozwinięcie równań (10, 11). Wraz z zależnościami (1 – 5) i (8, 9) oraz dynamiką zespołu napędowego (13, 14) opisuje pełny, nieliniowy model matematyczny czterowirnikowca.

$$\begin{bmatrix} \dot{P} \\ \dot{Q} \\ \dot{R} \\ \dot{\phi} \\ \dot{\theta} \\ \dot{\psi} \\ \ddot{x}_E \\ \ddot{y}_E \\ \ddot{z}_E \end{bmatrix} = \begin{bmatrix} \frac{1}{I_{xx}}(QR(I_{yy} - I_{zz}) + \tau_x + \tau_{Gx}) \\ \frac{1}{I_{yy}}(RP(I_{zz} - I_{xx}) + \tau_y + \tau_{Gy}) \\ \frac{1}{I_{zz}}(PQ(I_{xx} - I_{yy}) + \tau_z) \\ P + Q \operatorname{tg} \theta s \phi + R \operatorname{tg} \theta c \phi \\ Qc\phi - Rs\phi \\ Q \frac{s\phi}{c\theta} + R \frac{c\phi}{c\theta} \\ \frac{\sum_{i=1}^4 T_i}{m} (-c\phi s \theta c \psi - s\phi s \psi) \\ \frac{\sum_{i=1}^4 T_i}{m} (-c\phi s \theta s \psi + s\phi c \psi) \\ \frac{\sum_{i=1}^4 T_i}{m} (g - c\phi c \theta) \end{bmatrix} \quad (12)$$

(skr\u00f3cony zapis: $s - \sin$, $c - \cos$)

1.3. Dynamika zespo\u0142u nap\u0119dowego

W celu identyfikacji dynamiki zespo\u0142u nap\u0119dowego dokonano pomiaru pr\u0119dko\u015bci obrotowej \u015bmig\u0142a w funkcji czasu podczas skokowych zmian sygna\u0142u steruj\u0105cego silnikiem. Na podstawie pomiar\u00f3w, dynamika zmian pr\u0119dko\u015bci obrotowej \u015bmig\u0142a aproksymowana zosta\u0142a cz\u0142onem inercyjnym I-go rz\u0119du:

$$G_{\Omega}(s) = \frac{1}{Ts + 1} \quad (13)$$

o r\u00f3\u017cnych sta\u0142ych czasowych dla wzrostu i spadku pr\u0119dko\u015bci (tab. 2).

Ponadto zidentyfikowano funkcj\u0119 umo\u017cliwiaj\u0105c\u0105 przeliczanie sygna\u0142\u00f3w procentowych przepustnicy silnika (n) na uzyskiwane pr\u0119dko\u015bci obrotowe \u015bmig\u0142a. Funkcj\u0119 t\u0119 aproksymowano wielomianem 3-go stopnia:

$$\Omega(n) = d_{\Omega} n^3 + c_{\Omega} n^2 + b_{\Omega} n + a_{\Omega} \quad (14)$$

1.4. Identyfikacja parametr\u00f3w modelu

Warto\u015bci wsp\u00f3\u0142czynnik\u00f3w modelu zwi\u0105zane z zespo\u0142em nap\u0119dowym zidentyfikowano eksperymentalnie na wspomnianej w rozdziale 1.1 hamowni, za\u015b momenty bezw\u0142adno\u015bci wyznaczono w programie CAD, wykorzystuj\u0105c model 3D rozpatrywanego czterowirnikowca, zbudowanego z ramy DJI F450 z dedykowanym podwoziem oraz zespo\u0142u nap\u0119dowego DJI E305. Ich warto\u015bci zestawiono w tab. 2.

Tab. 2. Warto\u015bci wszystkich wsp\u00f3\u0142czynnik\u00f3w modelu matematycznego czterowirnikowca

Parametr modelu	Symbol	Warto\u015b\u0107	Jednostka
Masa obiektu	m	1,023	kg
Momenty bezw\u0142adno\u015bci konstrukcji	I_{xx}	0,01170	kg·m ²
	I_{yy}	0,01196	
	I_{zz}	0,02225	
Moment bezw\u0142adno\u015bci \u015bmig\u0142a z wirnikiem silnika	I_s	4,3495·10 ⁻⁵	kg·m ²
Odleg\u0142o\u015b\u0107 osi obrotu \u015bmig\u0142a od osi x_B i y_B	l	0,1591	m
Sta\u0142e czasowe silnika przy rosn\u0105cej i malej\u0105cej pr\u0119dko\u015bci obrotowej (12)	T_{ros}	0,035	s
	T_{mal}	0,085	

Charakterystyka ci\u0105gu (1)	c_T	6,5892·10 ⁻⁶	Ns ² /rad ²
	b_T	-3,0999·10 ⁻⁴	Ns/rad
	a_T	0,0111	N
Charakterystyka momentu reakcyjnego \u015bmig\u0142a (2)	c_Q	1,269·10 ⁻⁷	Nms ² /rad ²
	b_Q	-4,2326·10 ⁻⁵	Nms/rad
Charakterystyka pr\u0119dko\u015bci obrotowej \u015bmig\u0142a (13)	d_{Ω}	-0,0114	1/min
	c_{Ω}	1,4253	
	b_{Ω}	71,3922	
	a_{Ω}	861,5975	

1.5. Linearyzacja modelu

Model matematyczny ruchu obrotowego wraz z charakterystykami zespo\u0142u nap\u0119dowego zlinearyzowany zosta\u0142 w punkcie ustal\u00f3nego zawisu, w celu wykorzystania teorii uk\u0142ad\u00f3w liniowych do syntezy algorytm\u00f3w sterowania.

Zlinearyzowany model opisuje r\u00f3wnanie stanu:

$$\dot{x} = Ax + Bu \quad (15)$$

gdzie:

$$A = \begin{bmatrix} 0_{3 \times 3} & 0_{3 \times 3} \\ I_{3 \times 3} & 0_{3 \times 3} \end{bmatrix}$$

$$B = \begin{bmatrix} \frac{lb_{nT}}{I_{xx}} & \frac{lb_{nT}}{I_{xx}} & \frac{lb_{nT}}{I_{xx}} & \frac{lb_{nT}}{I_{xx}} \\ \frac{lb_{nT}}{I_{yy}} & \frac{lb_{nT}}{I_{yy}} & -\frac{lb_{nT}}{I_{yy}} & -\frac{lb_{nT}}{I_{yy}} \\ \frac{b_{nQ}}{I_{zz}} & -\frac{b_{nQ}}{I_{zz}} & \frac{b_{nQ}}{I_{zz}} & -\frac{b_{nQ}}{I_{zz}} \\ 0 & 0 & 0 & 0 \\ 0 & 0 & 0 & 0 \\ 0 & 0 & 0 & 0 \end{bmatrix}$$

$x = [P \ Q \ R \ \phi \ \theta \ \psi]^T$ - zmienne stanu,

$u = [n_1 \ n_2 \ n_3 \ n_4]^T$ - zmienne steruj\u0105ce (warto\u015bci procentowe przepustnicy),

b_{nT} - zlinearyzowany wsp\u00f3\u0142czynnik ci\u0105gu,

b_{nQ} - zlinearyzowany wsp\u00f3\u0142czynnik momentu reakcyjnego.

2. SYNTEZA ALGORYTM\u00d3W STEROWANIA

2.1. Sygna\u0142y steruj\u0105ce

Sterowanie orientacj\u0105 przestrzenn\u0105 czterowirnikowca odbywa si\u0119 poprzez manipulacj\u0119 jednocze\u015bnie czterema sygna\u0142ami przepustnicy n_i . Aby rozdzieli\u0107 w\u0142yw dzia\u0142ania regulator\u00f3w w poszczeg\u00f3lnych kana\u0142ach (przechylenia, pochylenia i odchylenia), wprowadzono nast\u0119puj\u0105ce sygna\u0142y steruj\u0105ce:

u_1 - sygna\u0142 przechylenia

u_2 - sygna\u0142 pochylenia

u_3 - sygna\u0142 odchylenia

u_4 – sygnał ciągu

Sygnały te przeliczane są w układzie sterowania na sygnały przepustnicy (n_i) sterujące silnikami, według zależności:

$$\begin{bmatrix} n_1 \\ n_2 \\ n_3 \\ n_4 \end{bmatrix} = \begin{bmatrix} -1 & 1 & 1 & 1 \\ 1 & 1 & -1 & 1 \\ 1 & -1 & 1 & 1 \\ -1 & -1 & -1 & 1 \end{bmatrix} \begin{bmatrix} u_1 \\ u_2 \\ u_3 \\ u_4 \end{bmatrix} \quad (16)$$

Po wprowadzeniu nowych zmiennych sterujących do modelu liniowego (15):

$$u = [u_1 \quad u_2 \quad u_3]^T$$

macierz B będzie postaci:

$$B = \begin{bmatrix} \frac{4lb_{nT}}{I_{xx}} & 0 & 0 \\ 0 & \frac{4lb_{nT}}{I_{yy}} & 0 \\ 0 & 0 & \frac{4b_{nQ}}{I_{zz}} \\ 0 & 0 & 0 \\ 0 & 0 & 0 \\ 0 & 0 & 0 \end{bmatrix}$$

Zidentyfikowana w rozdziale 1.3 dynamika zespołu napędowego opisuje inercję zmian prędkości obrotowych śmigieł, które nie mają swojego odwzorowania w modelu liniowym. W uproszczony sposób, dynamikę tę uwzględniono jako inercję zmian sygnałów sterujących u_i :

$$G_u(s) = \frac{1}{Ts + 1} \quad (17)$$

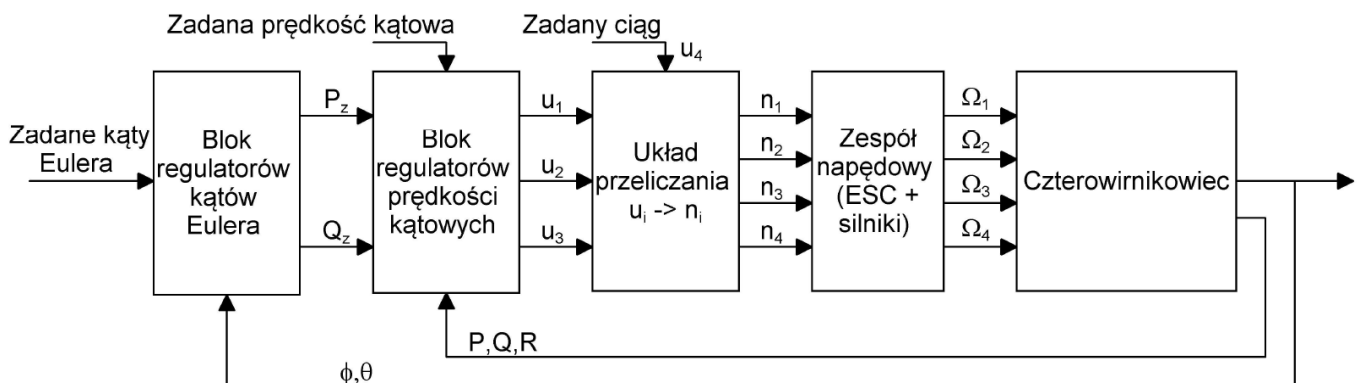
gdzie:

$$T = \frac{T_{ros} + T_{mal}}{2} \text{ - uśredniona stała czasowa.}$$

Linearyzacja modelu oraz wprowadzenie nowych zmiennych sterujących umożliwiającą przeprowadzenie syntezy układu sterowania oddzielnie dla poszczególnych kanałów (przechylenie, pochylenie, odchylenie).

2.2. Struktura układu sterowania

Układ sterowania orientacją przestrzenną czterowirnikowca zrealizowano w oparciu o regulatory PI, pracujące w strukturze hierarchicznej (rys. 4): stabilizacja prędkości kątowych P , Q , R stanowi wewnętrzną pętlę sterowania kątami Eulera ϕ , θ .



Rys. 4. Struktura układu sterowania orientacją przestrzenną czterowirnikowca.

Sterowanie odbywa się poprzez zadawanie żądanych kątów przechylenia (ϕ) i pochylenia (θ) oraz prędkości kątowej odchylenia (R). Sterowanie kątem odchylenia (ψ) jest na ogół częścią nadrzędnego układu sterowania trajektorią i nie jest wykorzystywane podczas sterowania czterowirnikowcem przez operatora.

Regulatory prędkości kątowych wypracowują zdefiniowane w poprzednim podrozdziale sygnały sterujące, według następujących praw sterowania (przykład dla kanału przechylenia):

$$u_1 = k_{P(P)}(P_z - P) + k_{I(P)} \int (P_z - P) dt \quad (18)$$

P_z jest zadaną prędkością kątową, wypracowywaną przez regulator kąta ϕ :

$$P_z = k_{P(\phi)}(\phi_z - \phi) + k_{I(\phi)} \int (\phi_z - \phi) dt \quad (19)$$

k_P, k_I - wzmacnienia regulatorów.

Zastosowanie członu całkującego w regulatorach prędkości kątowych umożliwi niwelowanie wpływu przesunięcia środka ciężkości, które wymusza nierównomierność ciągu wszystkich silników w stanie ustalonego zawisu. W regulatorach kątów Eulera, człon całkujący ma za zadanie kompensować błąd żyroskopów w postaci dryfu. Z uwagi na fakt, że błąd ten jest niewielki (po kalibracji żyroskopów nie większy niż $1^\circ/s$), wartość całki uchybu można ograniczyć do bardzo niewielkich wartości. W ten sposób ograniczony człon całkujący będzie spełniał swoją rolę, nie wpływając jednocześnie negatywnie na jakość sterowania. Nieskompensowany dryf mógłby powodować trudności w ustaleniu się zerowych kątów orientacji przestrzennej, powodując przy tym powstanie prędkości liniowych i ciągle „odpływanie” czterowirnikowca.

Wypracowane przez regulatory sygnały sterujące u_i są przeliczane na sygnały przepustnicy według zależności (16). Sygnały te, osiągające wartości z zakresu 0 – 100%, reprezentują szerokość sygnału PWM, sterującego regulatorami silników (ESC).

Sterowanie ciągiem odbywa się przez bezpośrednie zadawanie sygnału u_4 .

2.3. Dobór parametrów regulatorów

Dobór parametrów regulatorów jest czynnością iteracyjną. Początkowe wartości wzmacnień, zapewniające stabilność układu, dobrano przy pomocy charakterystyk logarytmicznych, sporządzonych na modelu liniowym, stosując się do ogólnych zaleceń projektowych [2]. Następnie weryfikowano odpowiedź skokową poprzez symulacje na modelu liniowym oraz pełnym, dostrajając przy tym parametry regulatorów. Podczas dostrajania dążono do uzyskania możliwie krótkiego czasu regulacji, przy jednoczesnym ograniczeniu oscylacji i przeregulowania.

Ostateczne wartości wzmacnień regulatorów przedstawiono w tab. 3. Ograniczenie całki uchybu wprowadzono również w regulatorach prędkości kątowych. Ma to na celu zabezpieczenie przed

niepożądanym narastaniem całki do dużych wartości podczas nieprzewidywanych sytuacji.

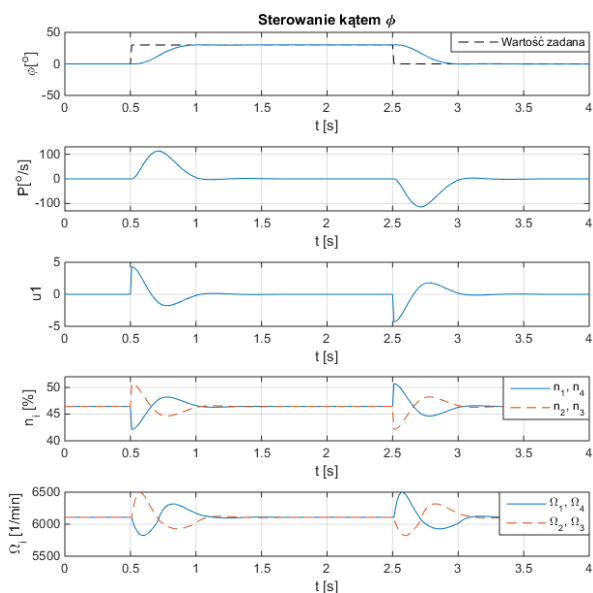
Tab. 3. Wartości wzmocnień regulatorów

Regulator	Wzmocnienia		Ograniczenie całki uchybu
	k_P	k_I	
Prędkość kątowna P	1,95	0,5	∓ 5
Prędkość kątowna Q	2	0,5	∓ 5
Prędkość kątowna R	35	8	∓ 5
Kąt ϕ	4,2	1	$\mp 0,018$
Kąt θ	4,2	1	$\mp 0,018$

2.4. Testy symulacyjne

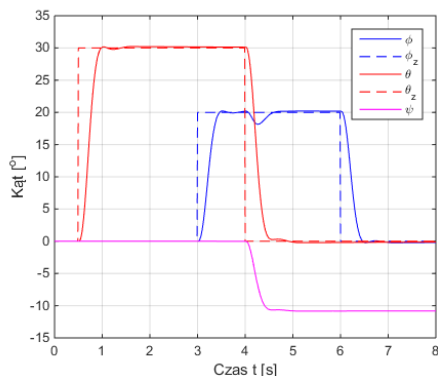
Zaprojektowany układ sterowania poddano testom symulacyjnym, przeprowadzonym na pełnym, nieliniowym modelu czterowirnikowca.

Rysunek 5 przedstawia wyniki symulacji manewru czystego przechylenia o kąt 30° . Na wykresach zobrazowano przebieg kąta ϕ , prędkości kątownej P , sygnału sterującego u_1 oraz sygnałów przepustnicy i prędkości obrotowych wszystkich silników.



Rys. 5. Wyniki symulacji manewru czystego przechylenia.

Rysunek 6 przedstawia przebieg kątów orientacji przestrzennej podczas manewru pochylenia o kąt 30° , a następnie przechylenia o kąt 20° . Wskutek manewru zmienia się także kąt odchylenia. Zjawisko to wynika wprost ze sposobu sterowania czterowirnikowcem i wymaga od operatora korekcji w kanale odchylenia. Przy rozbudowywaniu układu sterowania o nadrzędne układy sterowania trajektorią, efekt ten można zlikwidować poprzez zastosowanie regulatora kursu.



Rys. 6. Wyniki symulacji manewru pochylenia i przechylenia.

Czas regulacji osiąga wartości w granicach 0,5 s, zaś powstałe przy wymuszeniu skokowym niewielkie oscylacje są szybko tłumione, zatem efekty sterowania można uznać za zadowalające.

PODSUMOWANIE

Opracowany model matematyczny czterowirnikowca, po jego zlinearyzowaniu, posłużył do zaprojektowania układu sterowania orientacją przestrzenną. Pozytywne wyniki testów symulacyjnych pozwalają przypuszczać, że układ ten spełni swoje zadanie również w warunkach rzeczywistych.

Istniejące algorytmy sterowania można rozbudować o nadrzędne układy, realizujące sterowanie wysokością, pozycją i trajektorią lotu, dążąc przy tym do pełnej autonomiczności statku powietrznego.

BIBLIOGRAFIA

1. Pęczkowski M., *Modelowanie dynamiki oraz synteza układu sterowania czterowirnikowcem*, praca inżynierska, Politechnika Rzeszowska, 2017.
2. Bociek S., Gruszecki J., *Układy sterowania automatycznego samolotem*, Oficyna Wydawnicza Politechniki Rzeszowskiej, 1999.
3. Fink Petersen C., Hansen H., Larsson S., Bo Theilgaard Madsen L., Rimstad M., *Autonomous Hovering with a Quadrotor Helicopter*, Aalborg Universitet, 2008.
4. Bouabdallah S., *Design and control of quadrotors with application to autonomous flying*, praca doktorska, Ecole Polytechnique Federale de Lausanne, 2007.
5. Mahony R., Kumar V., Corke P., *Multirotor Aerial Vehicles. Modeling, Estimation, and Control of Quadrotor*, IEEE Robotics and Automation Magazine, 2012.
6. Schmidt M. D., *Simulation and Control of a Quadrotor Unmanned Aerial Vehicle*, praca magisterska, University of Kentucky, 2011.
7. Balas C., *Modelling and linear control of a quadrotor*, praca magisterska, Cranfield University, 2007.
8. Šolc F., *Modelling and Control of a Quadcopter*, Department of Control and Instrumentation, Faculty of Electrical Engineering and Communication, Brno University of Technology, 2010.

Modelling dynamics and control of a quadrotor

Paper describes mathematical model of a quadrotor, identification of its parameters and linearization around hover state. Attitude control algorithms were developed using linear control theory and PI controllers. The results were validated through various simulation tests.

Autorzy:

inż. **Marcin Pęczkowski** – Politechnika Rzeszowska
 dr inż. **Grzegorz Kopecki** – Politechnika Rzeszowska
 dr hab. inż. **Tomasz Rogalski**, prof. PRZ – Politechnika Rzeszowska